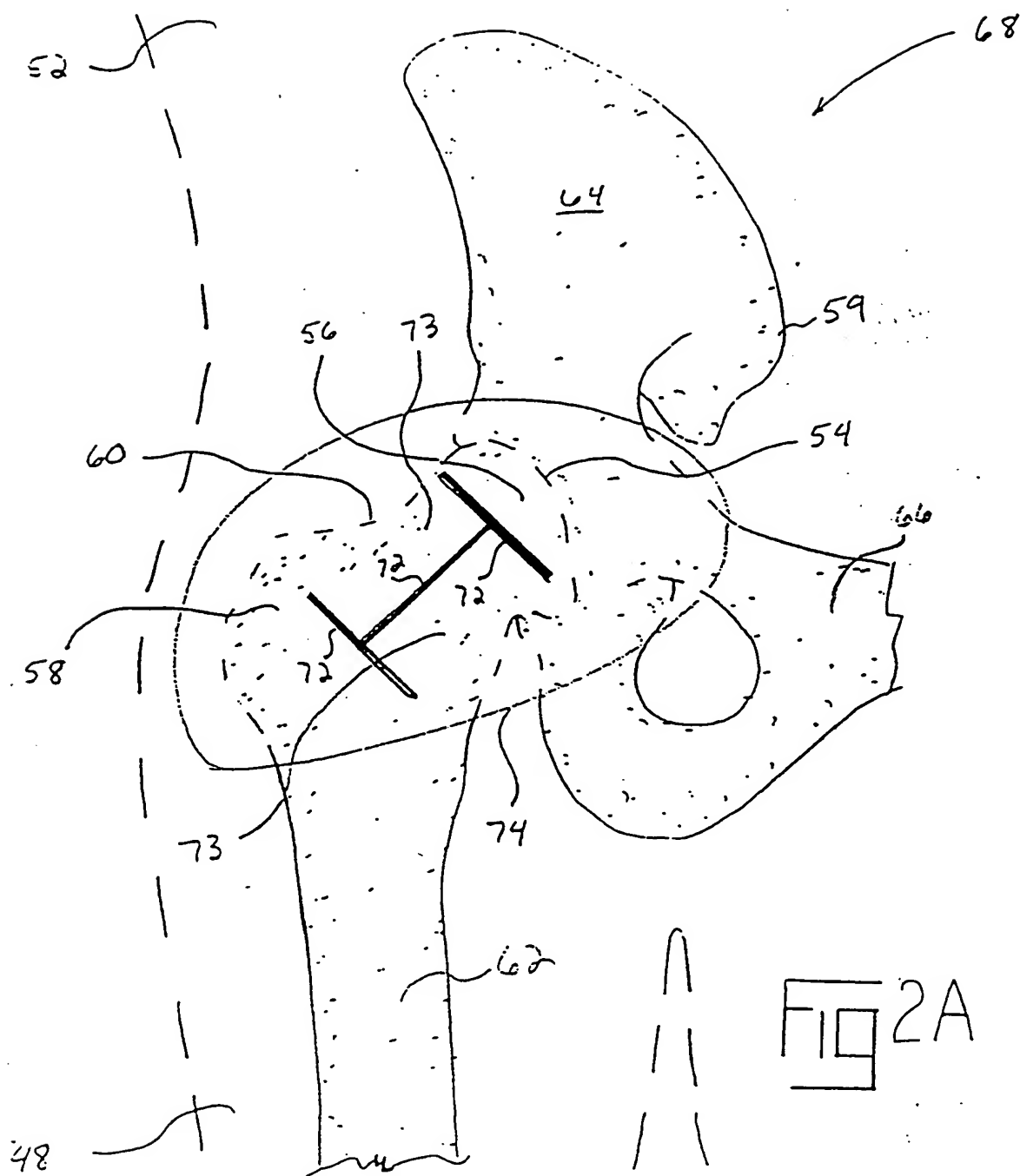
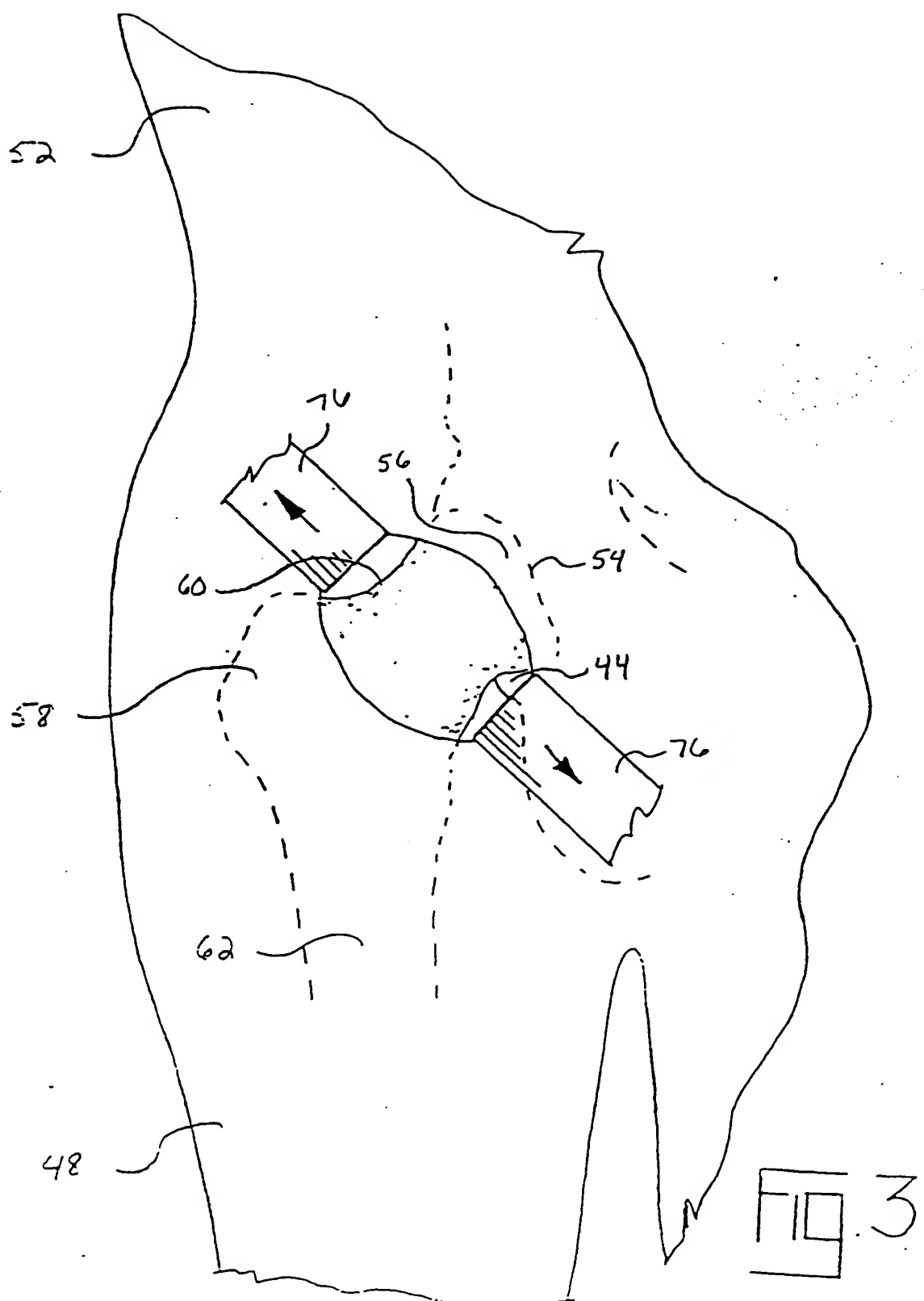


FIG. 2.





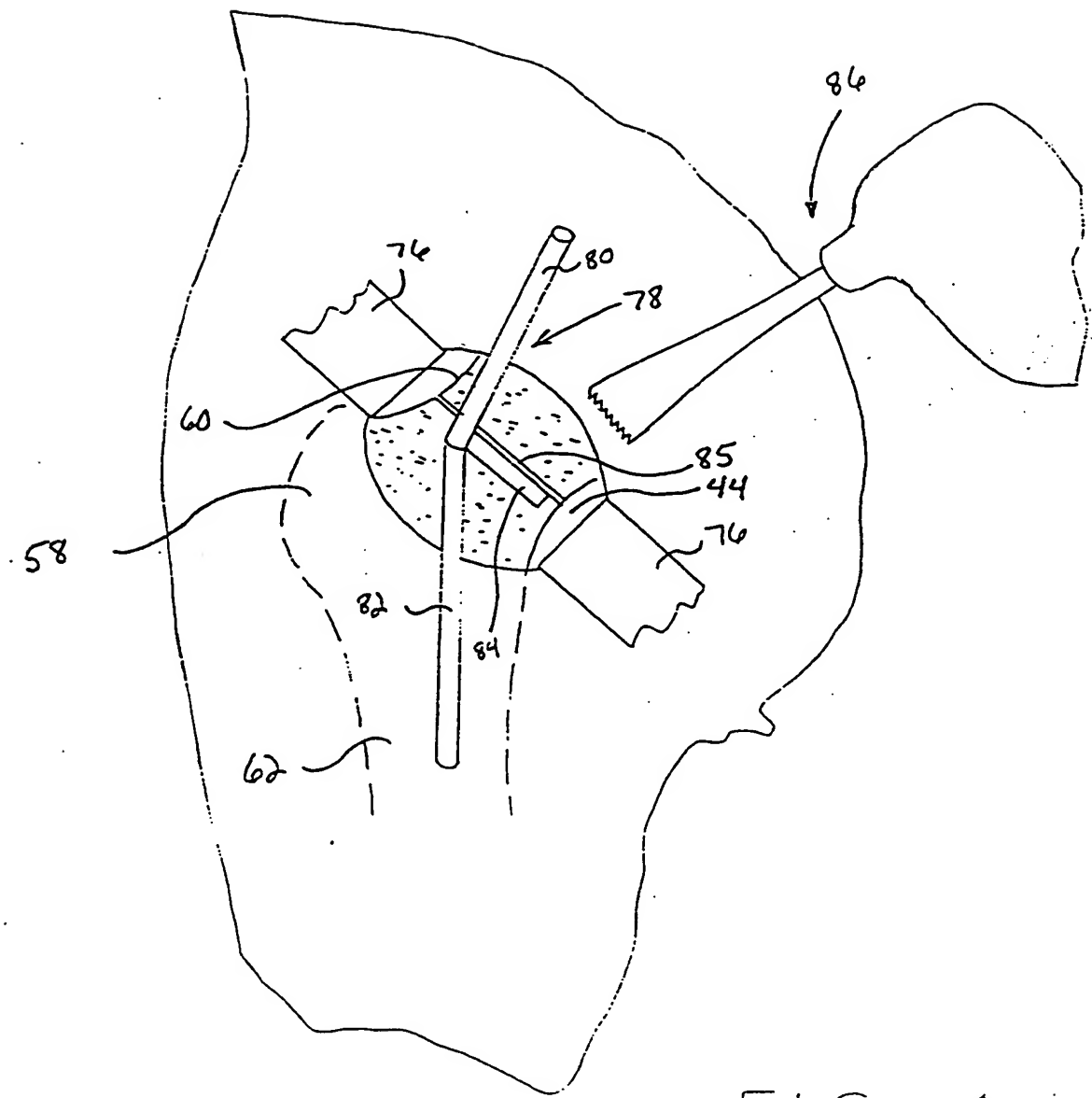


FIG. 4

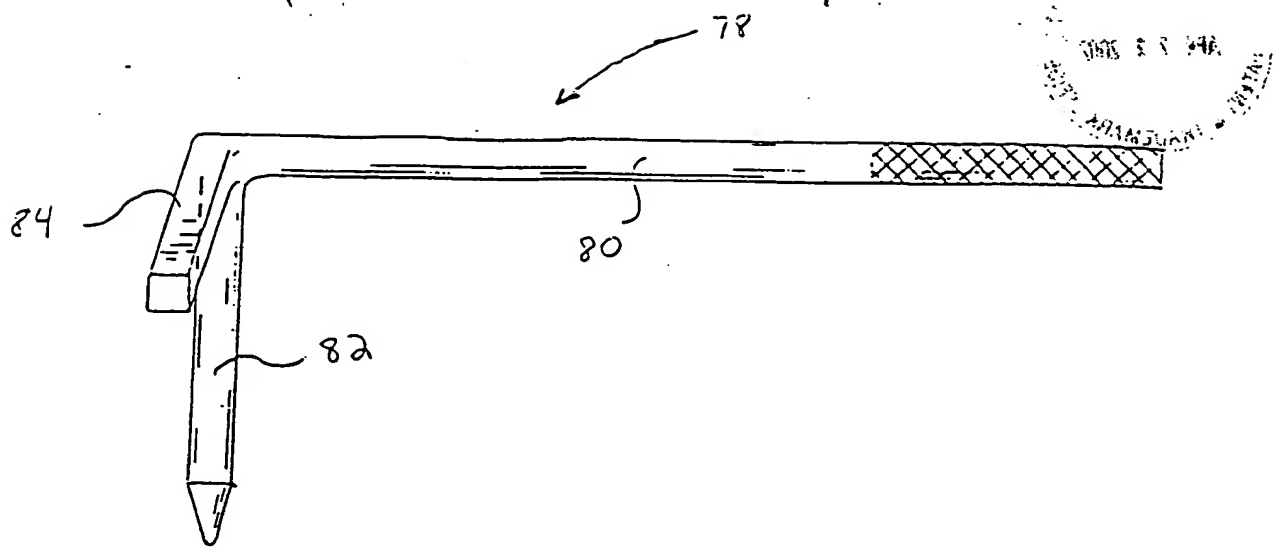


FIG 5A

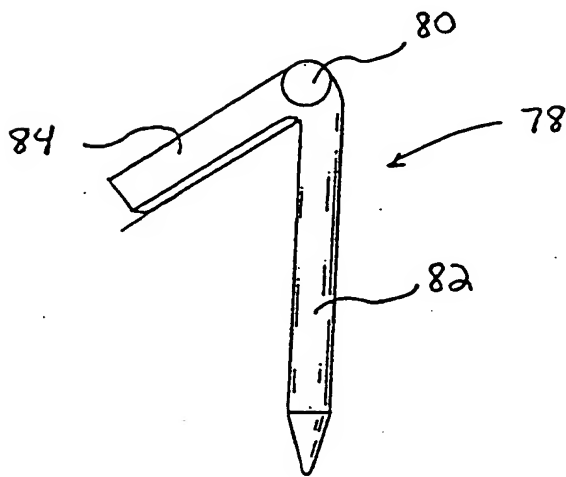


FIG 5B

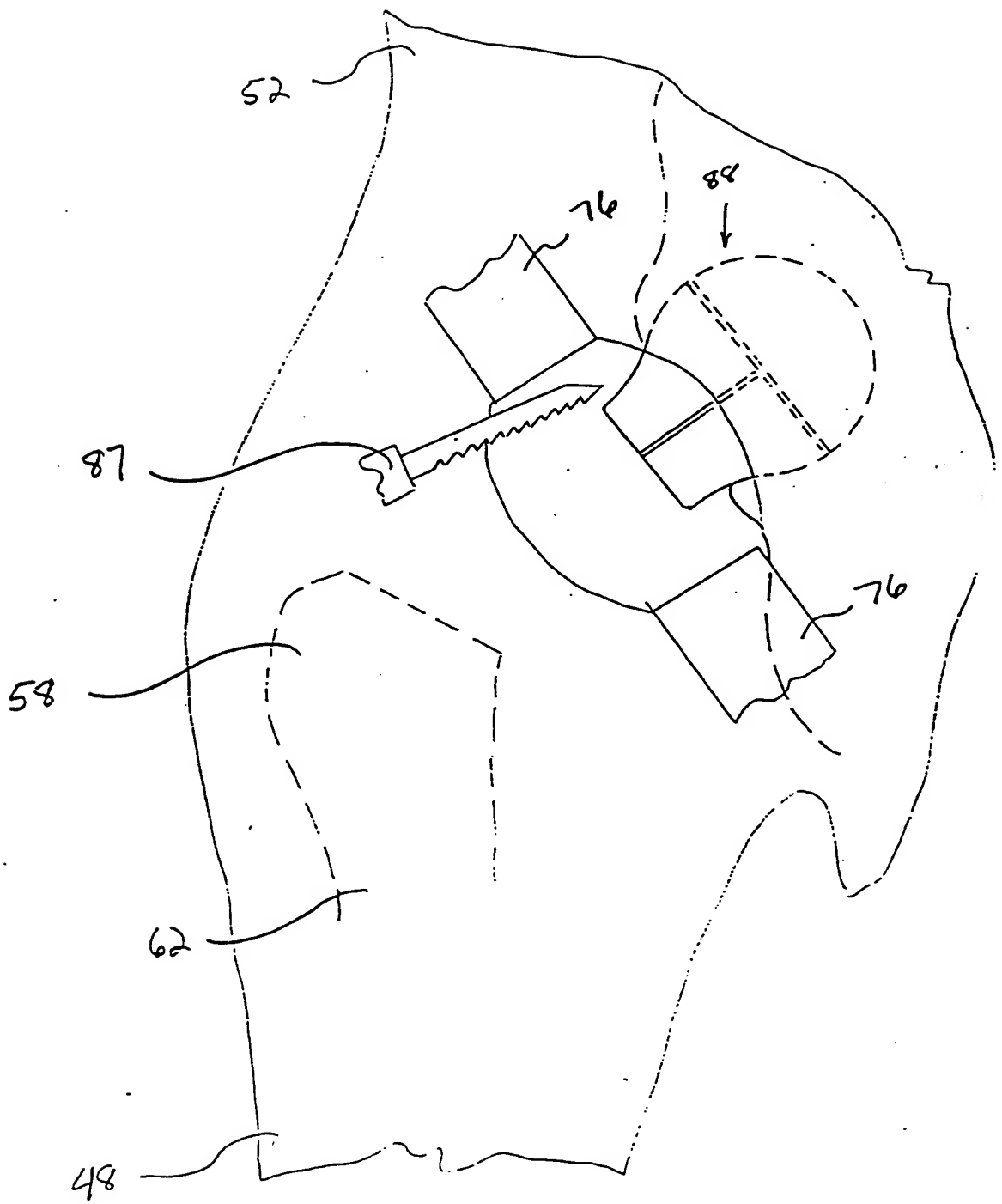


FIG. 6

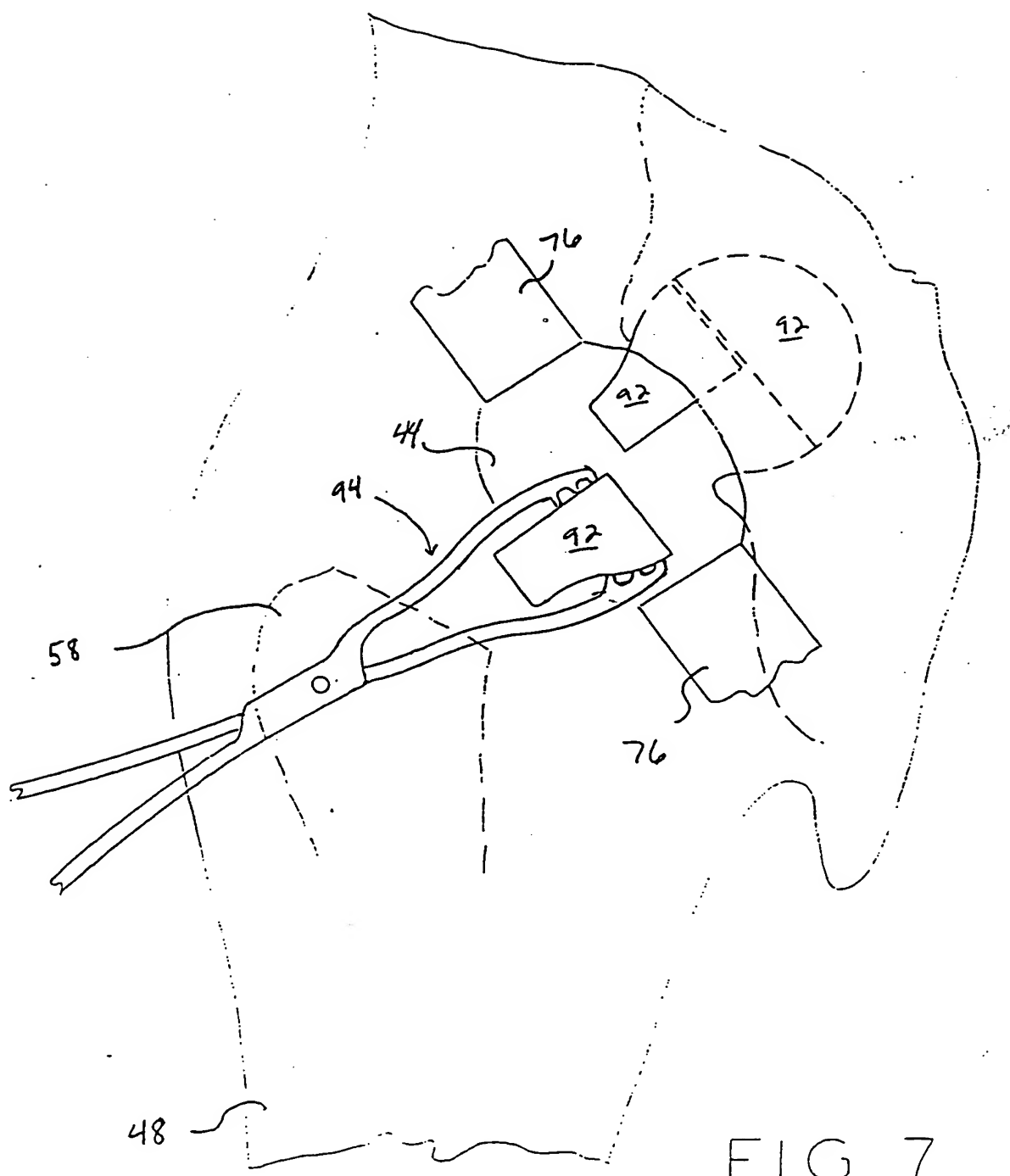


FIG. 7

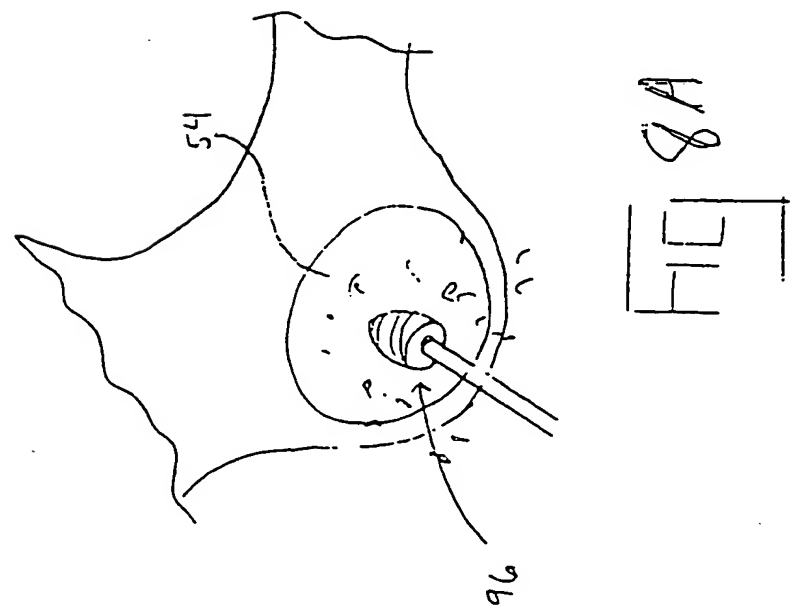
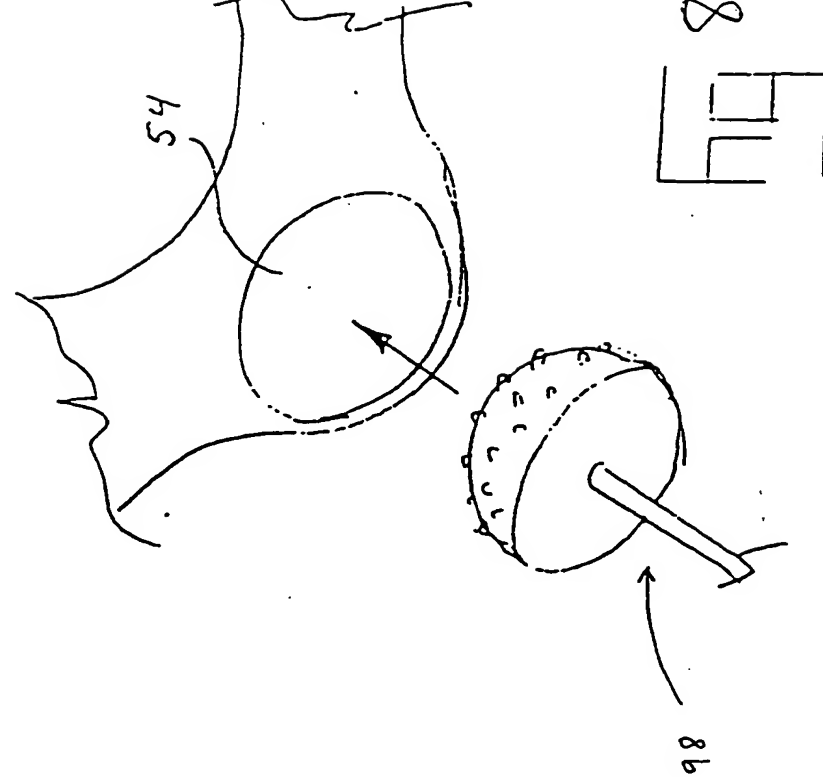
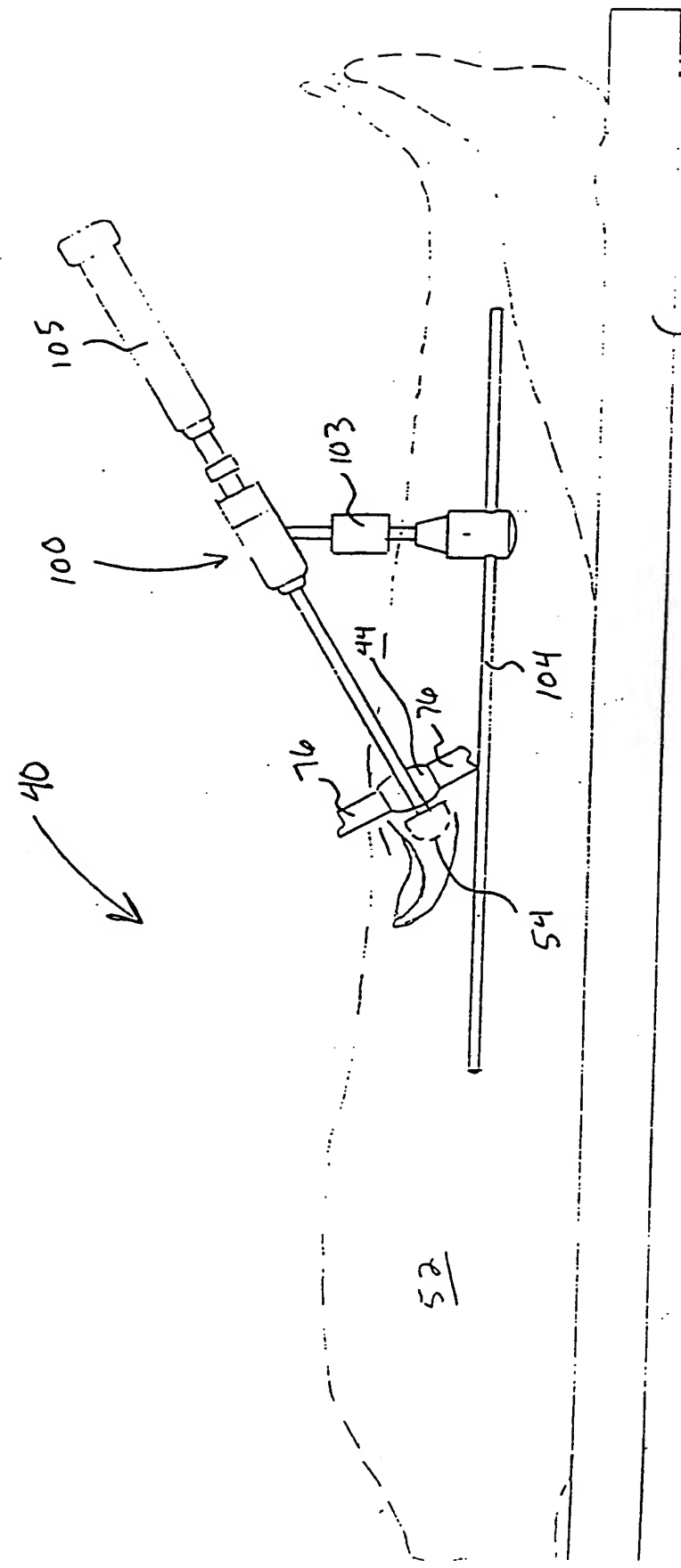


FIG. 9



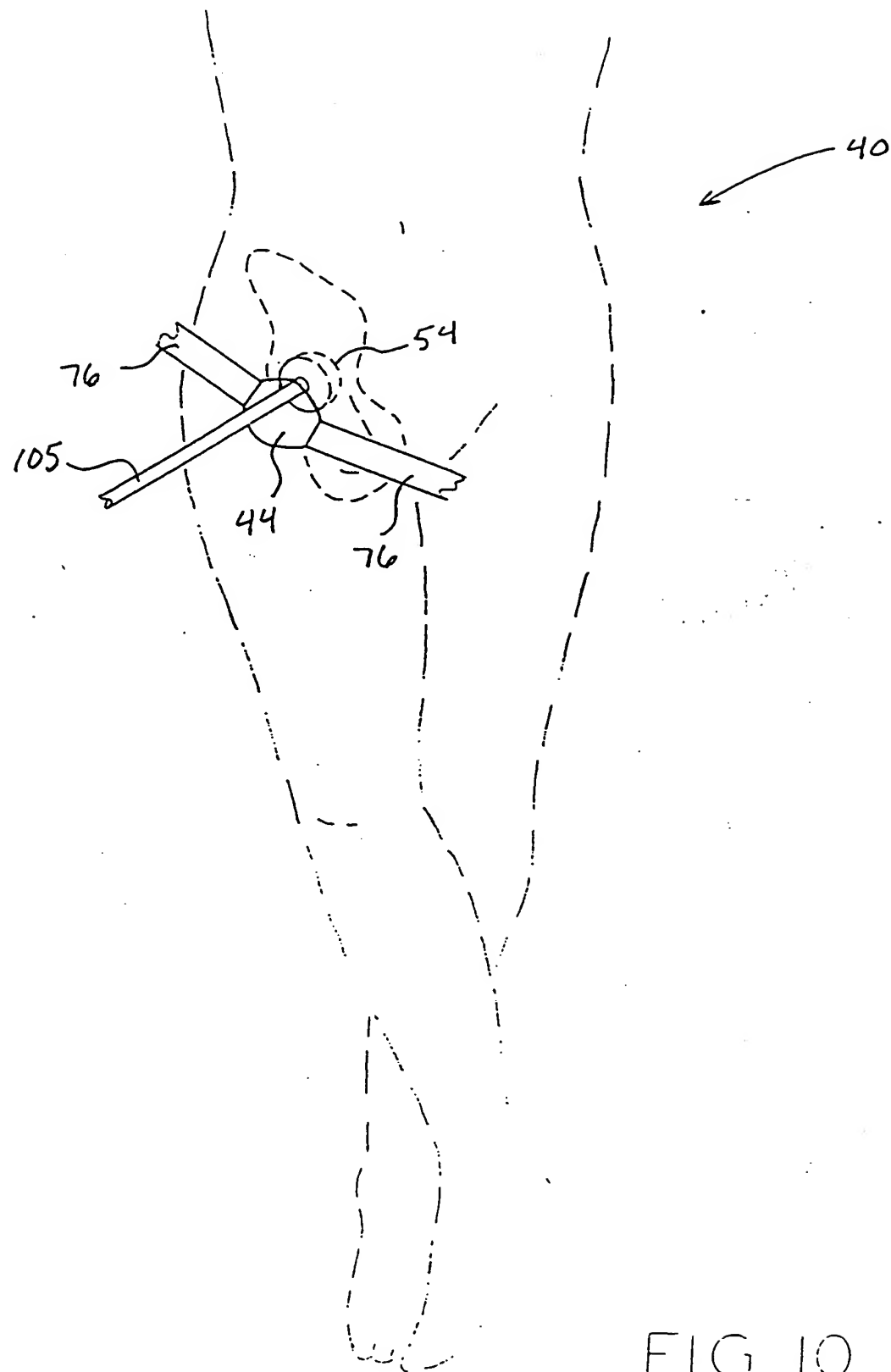
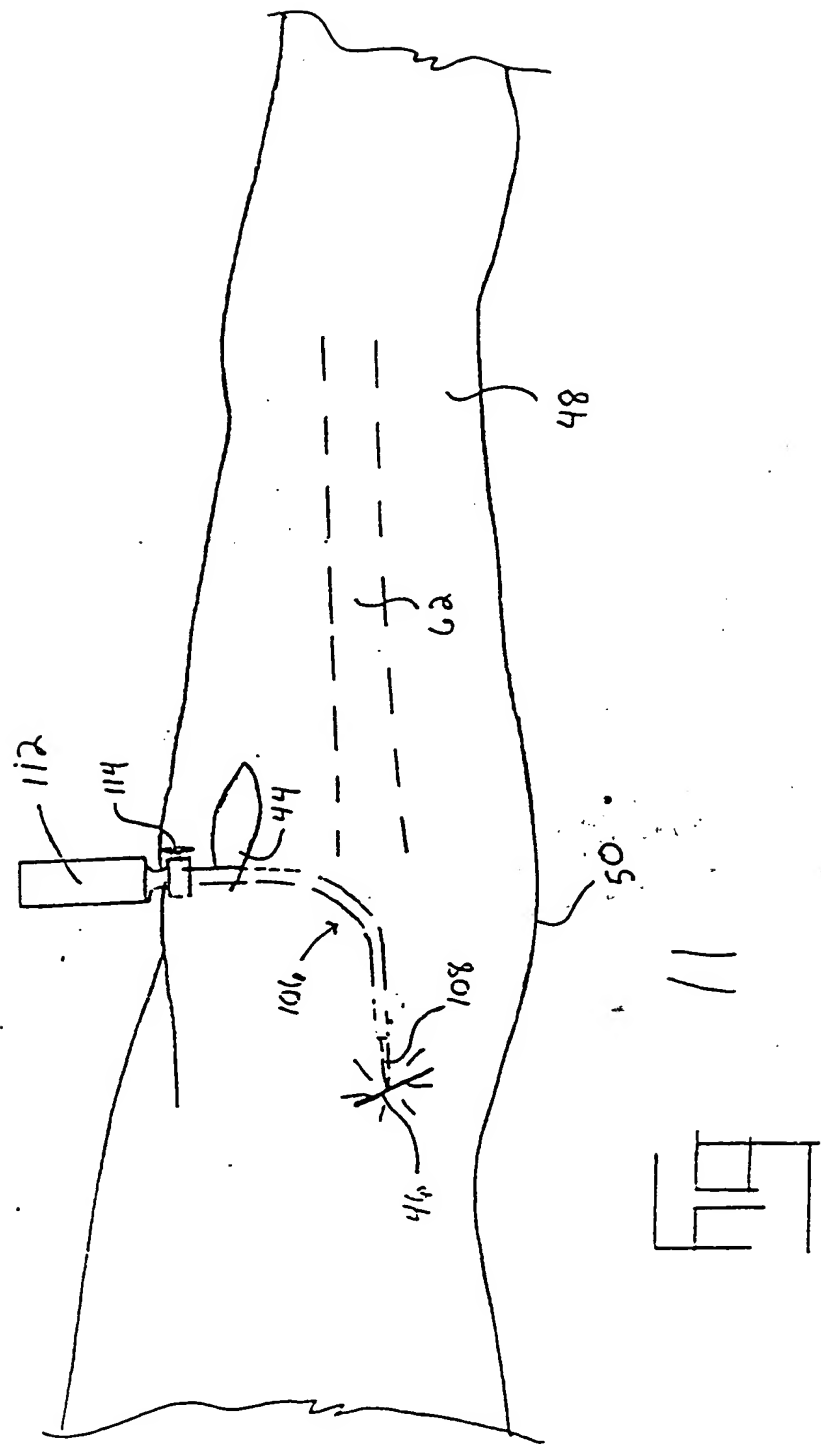
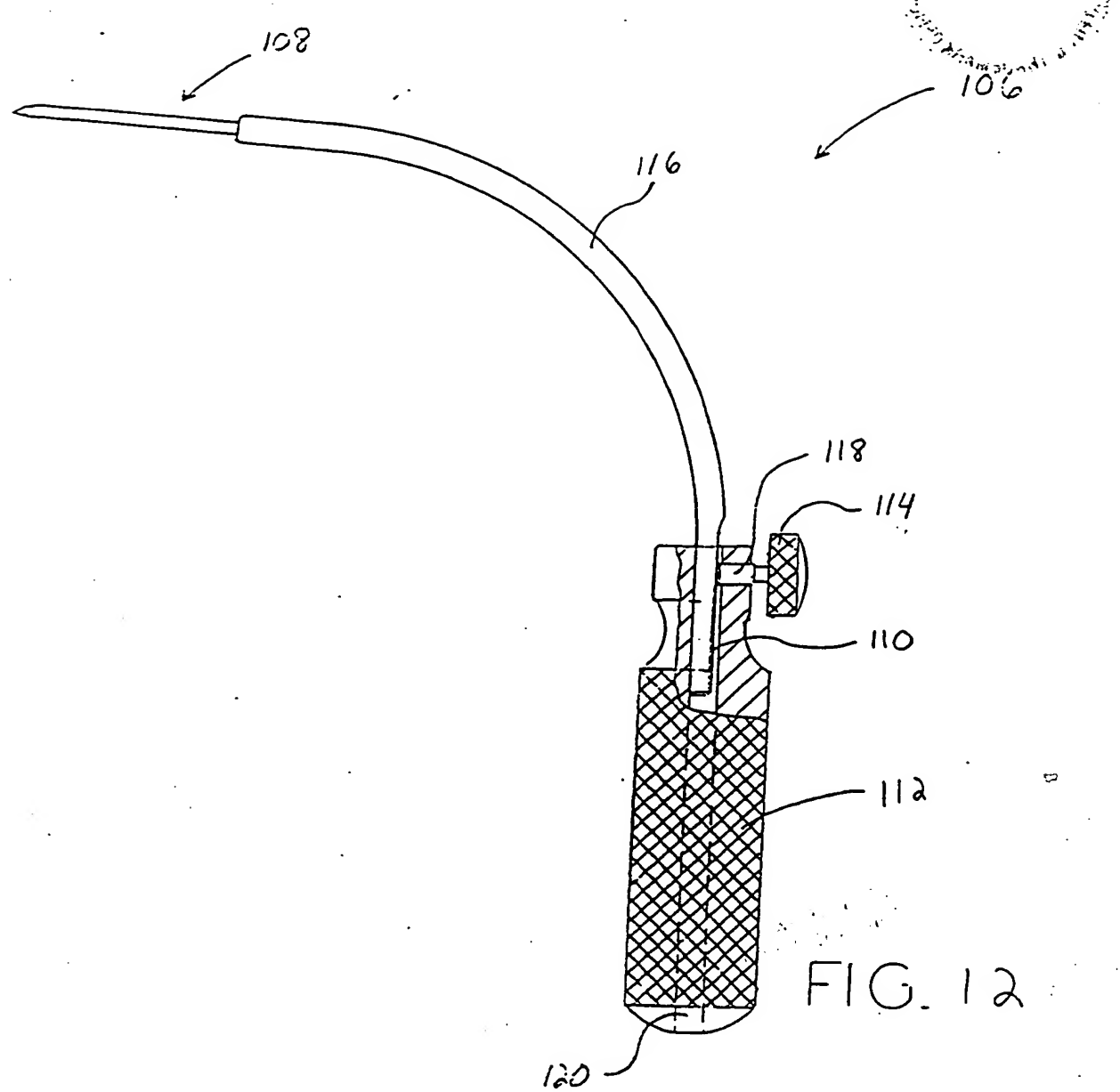
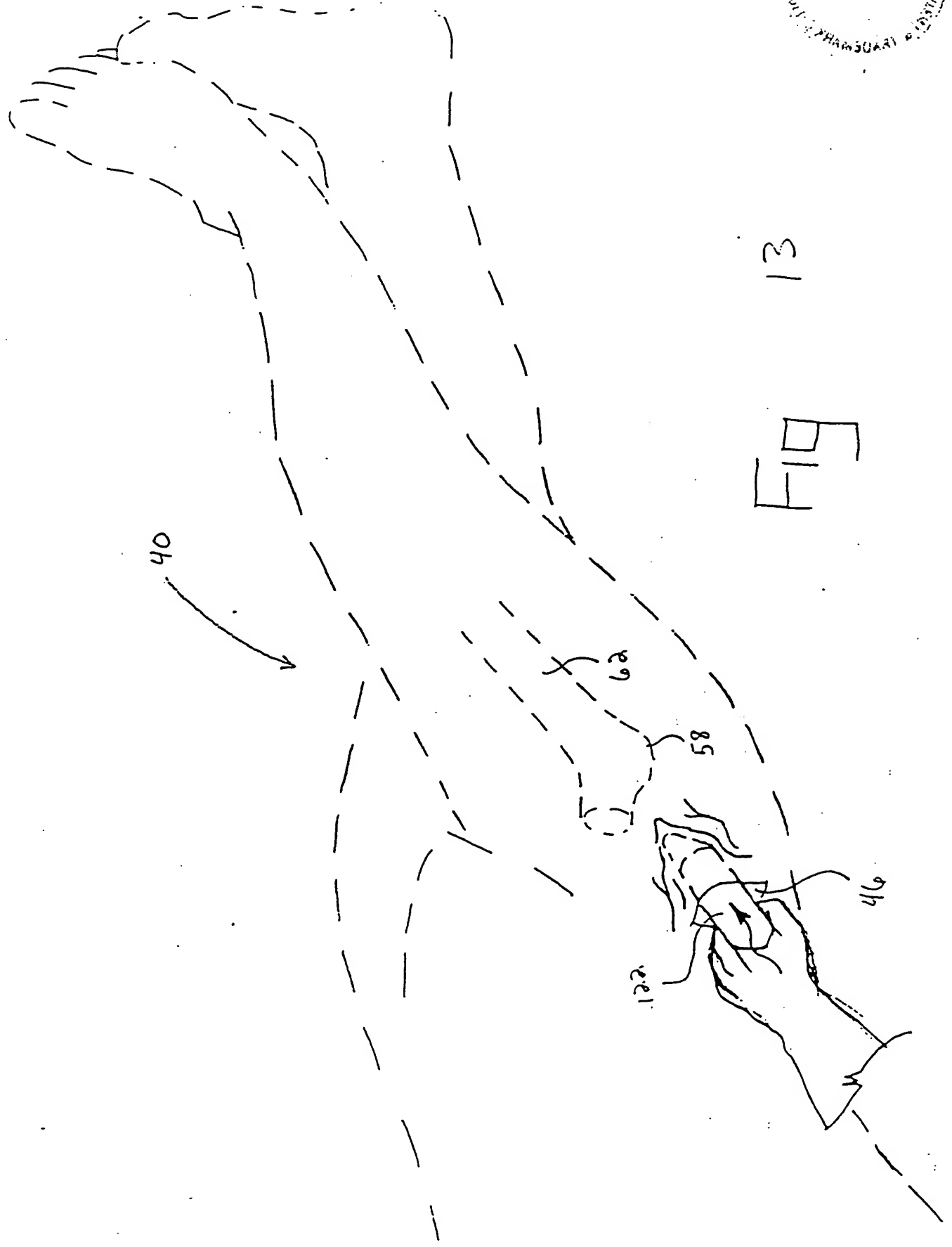


FIG. 10







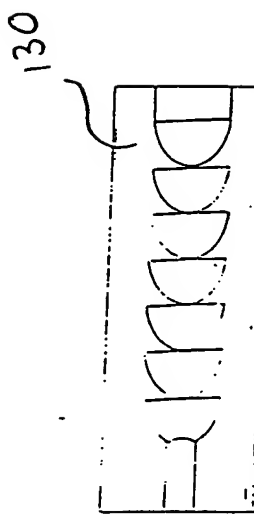
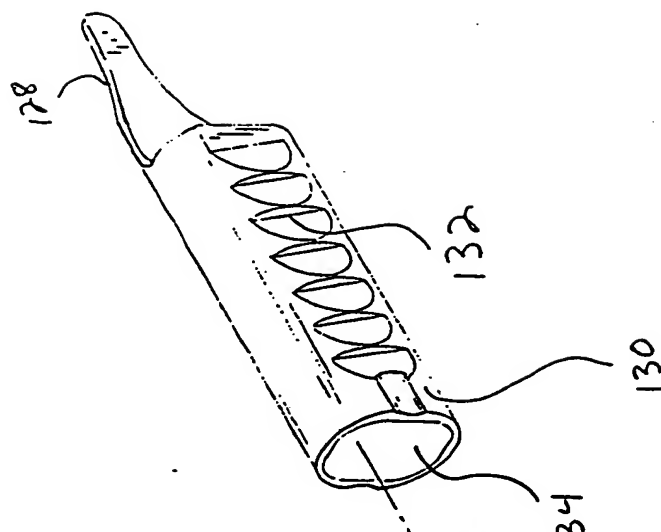


FIG. 14-A



132



132

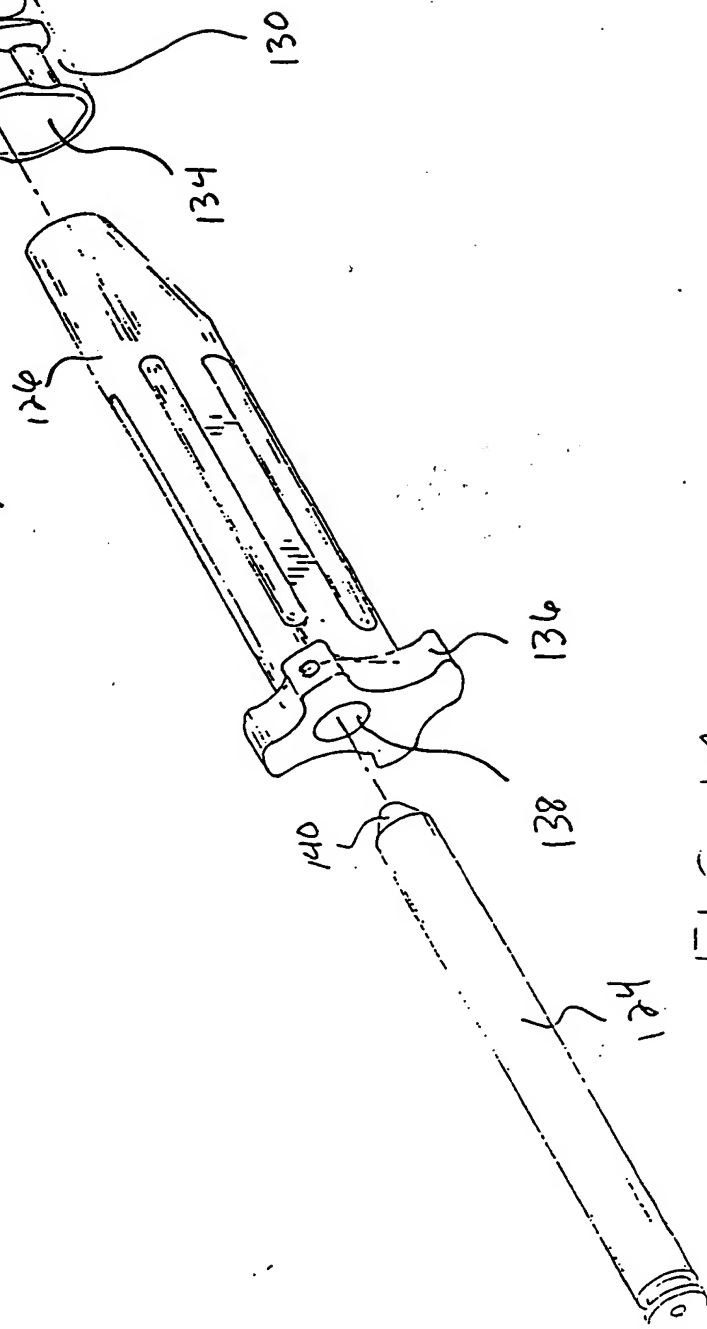
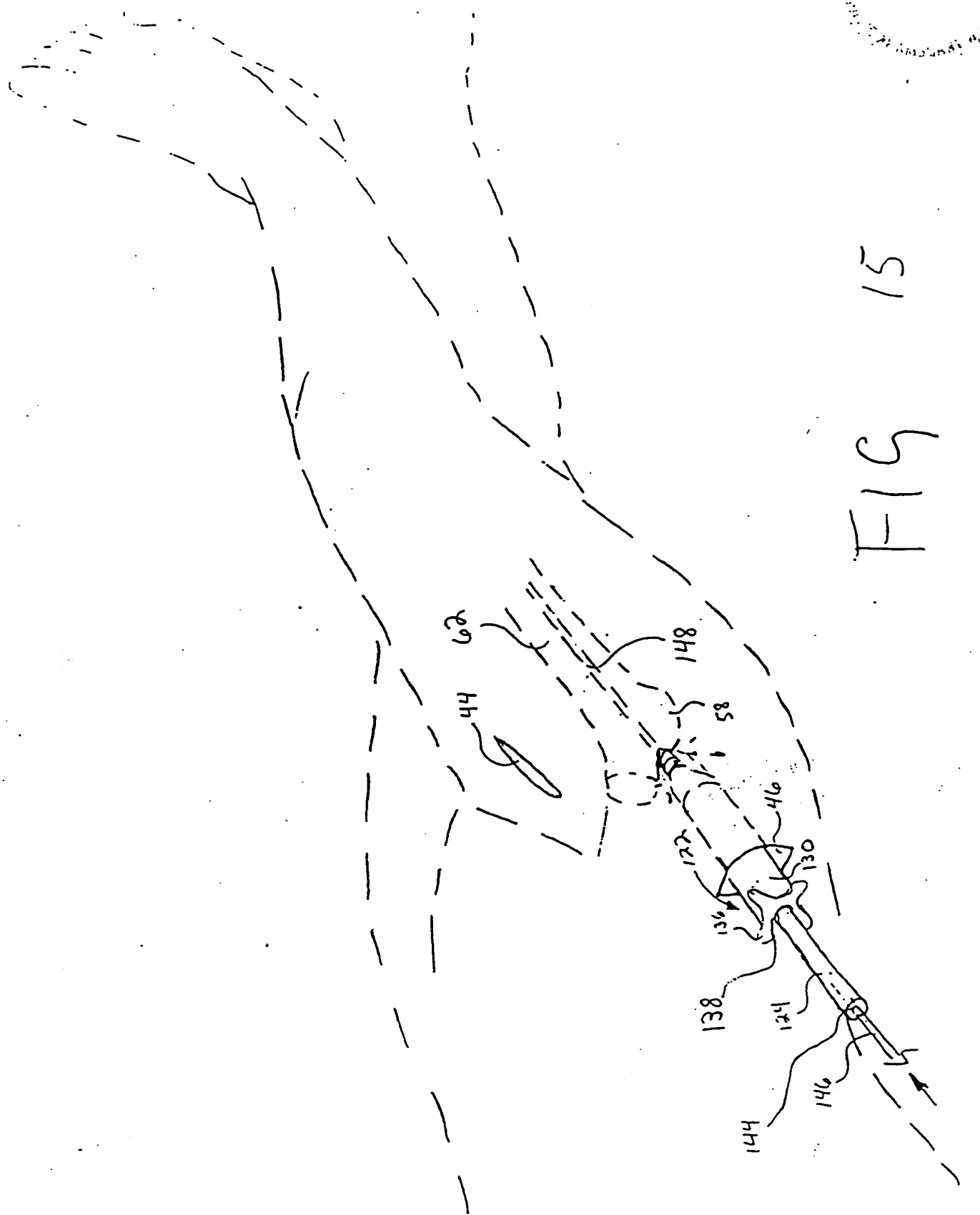
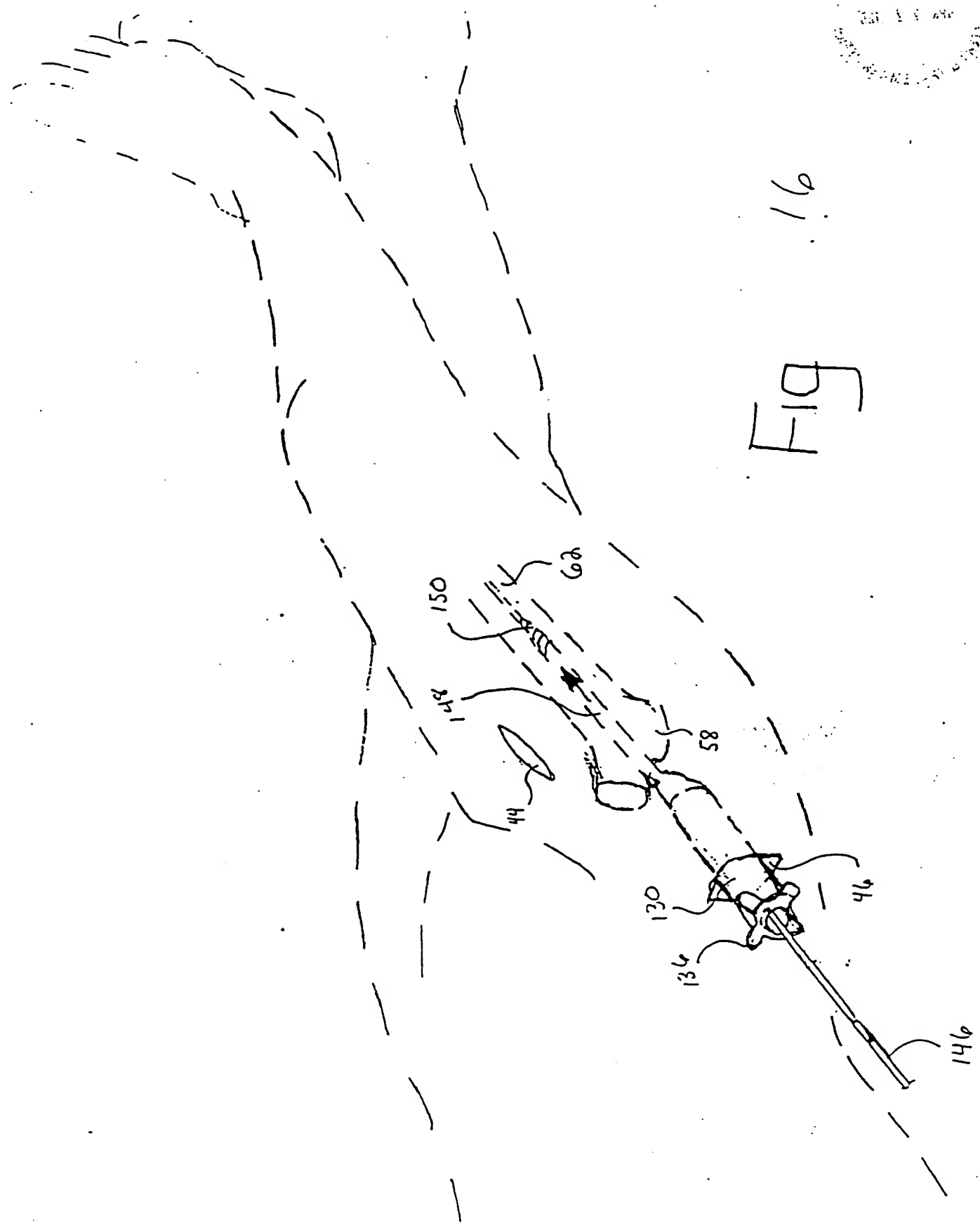
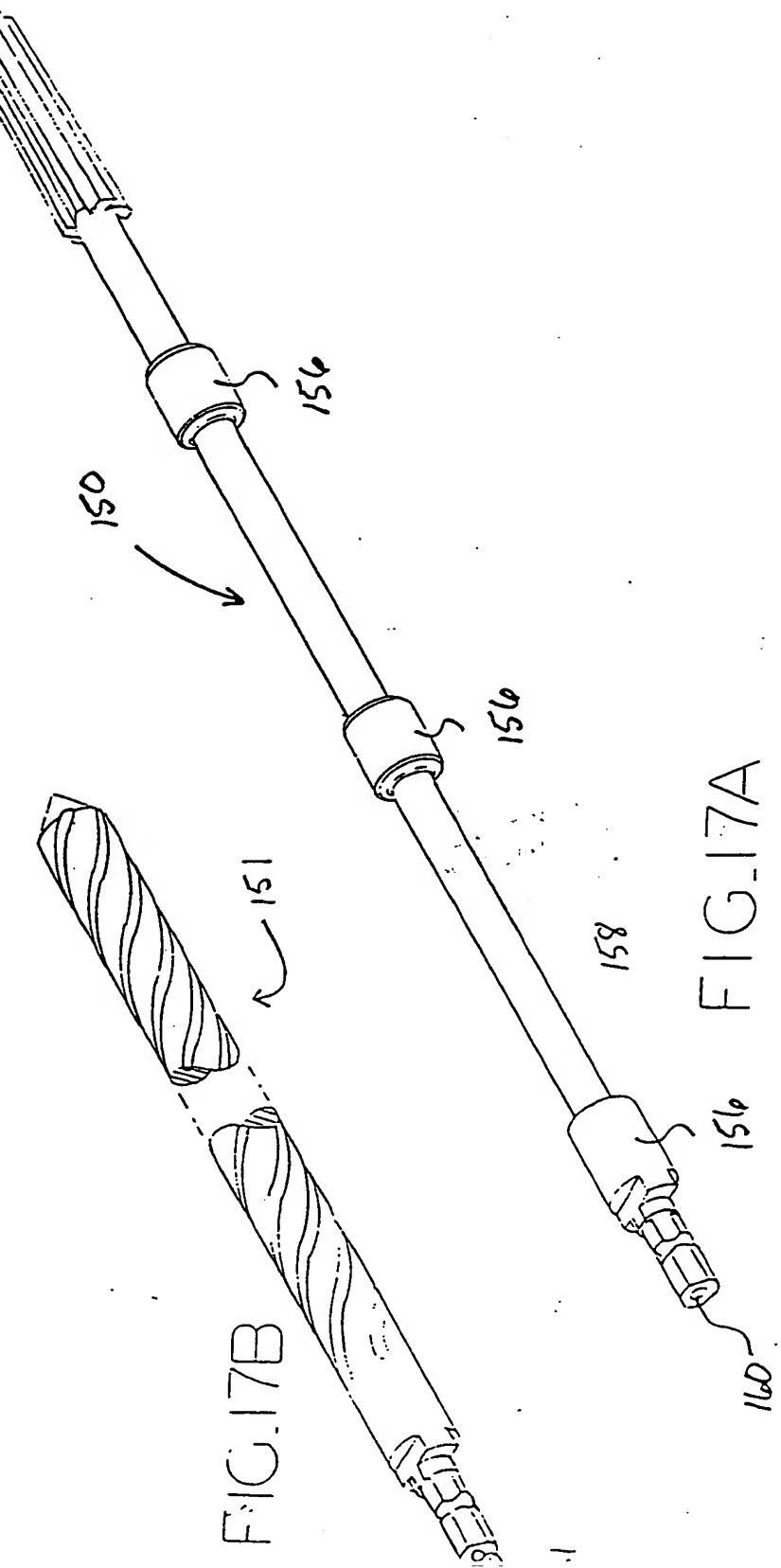
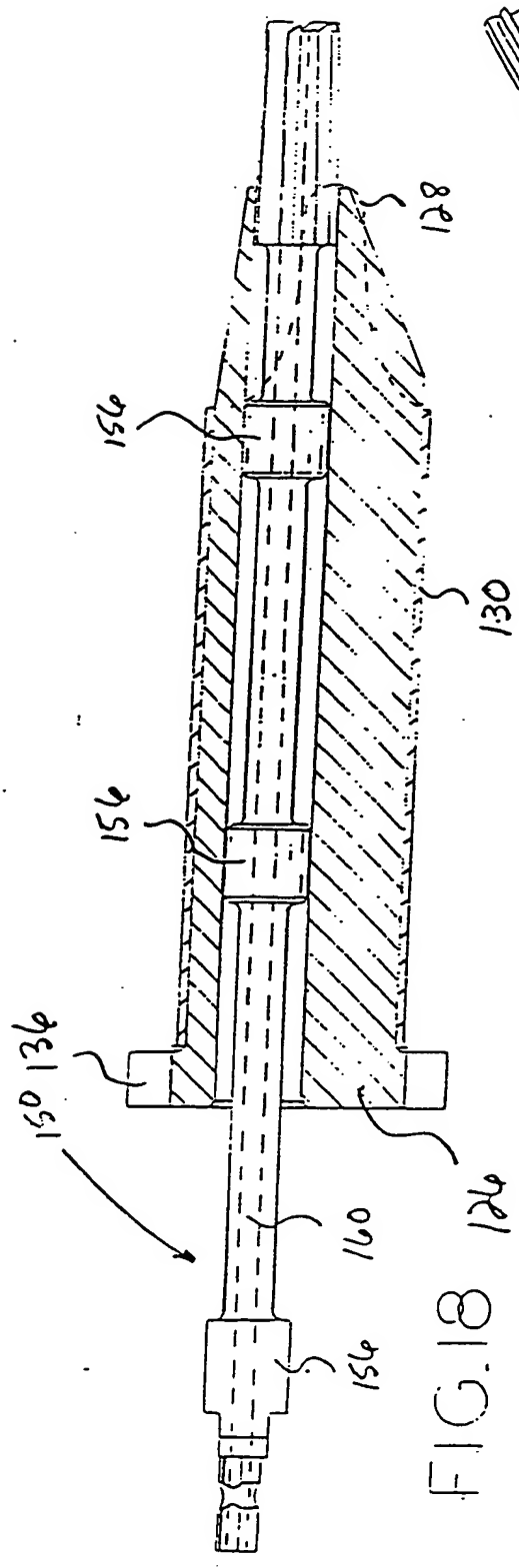


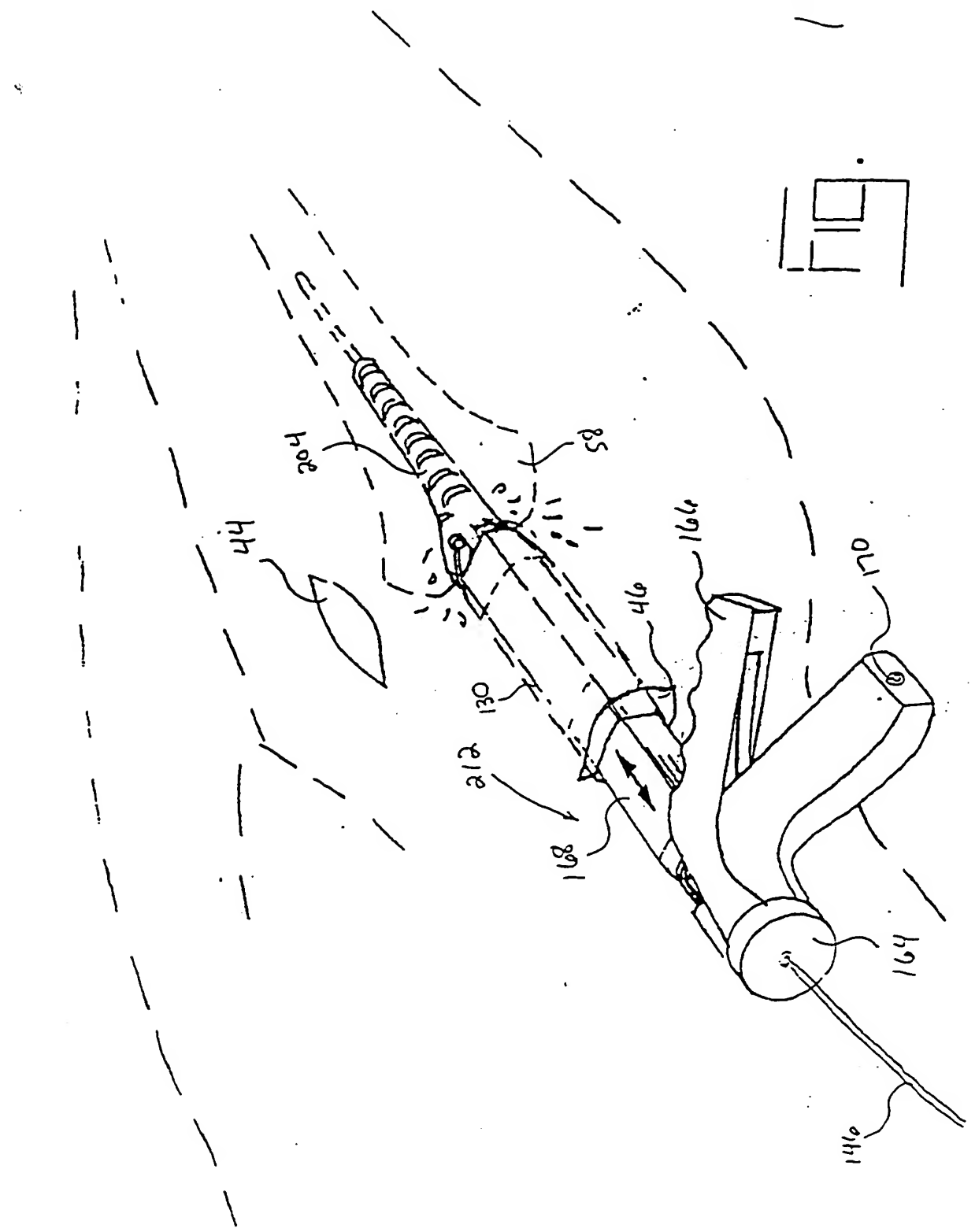
FIG. 14

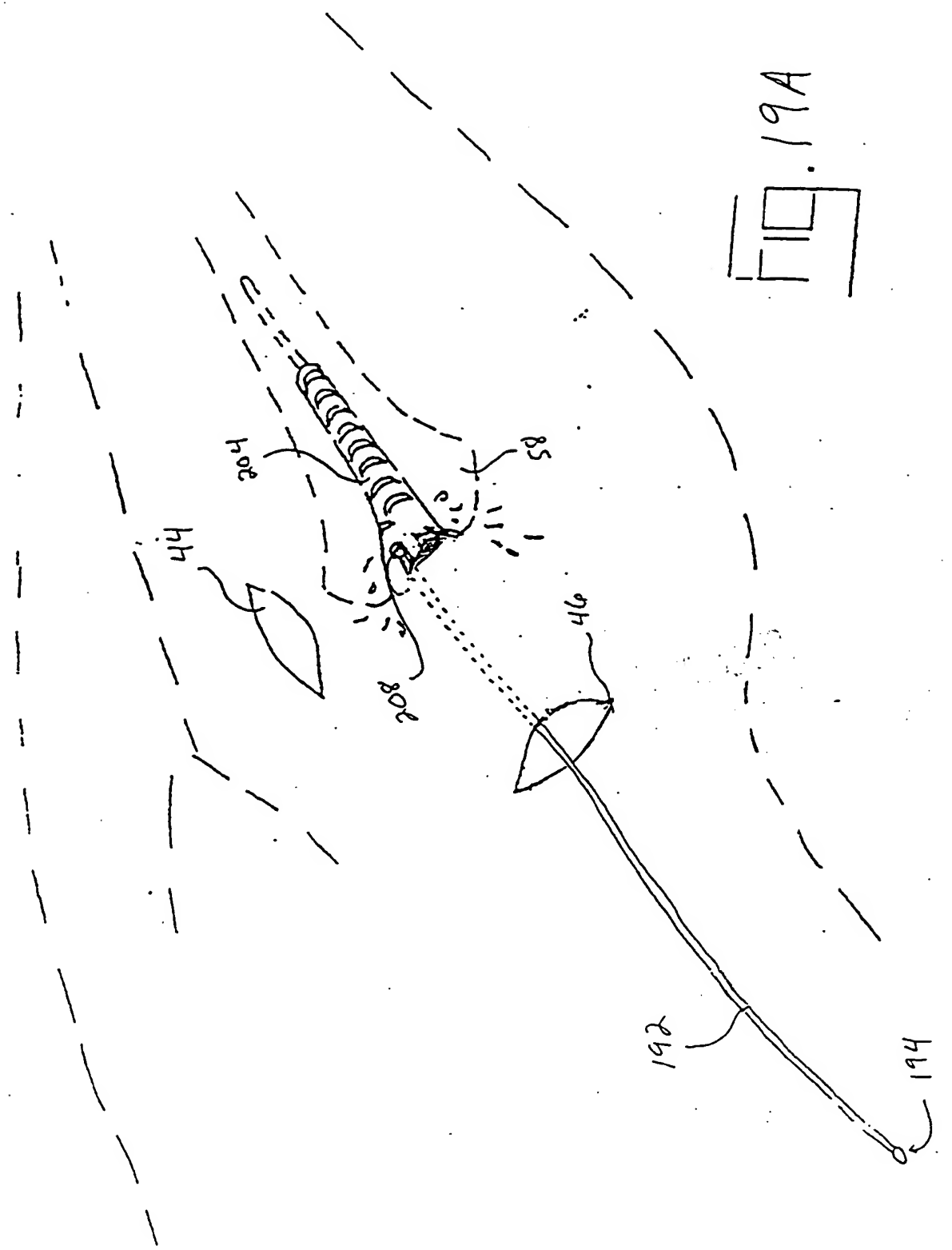
Fig 15

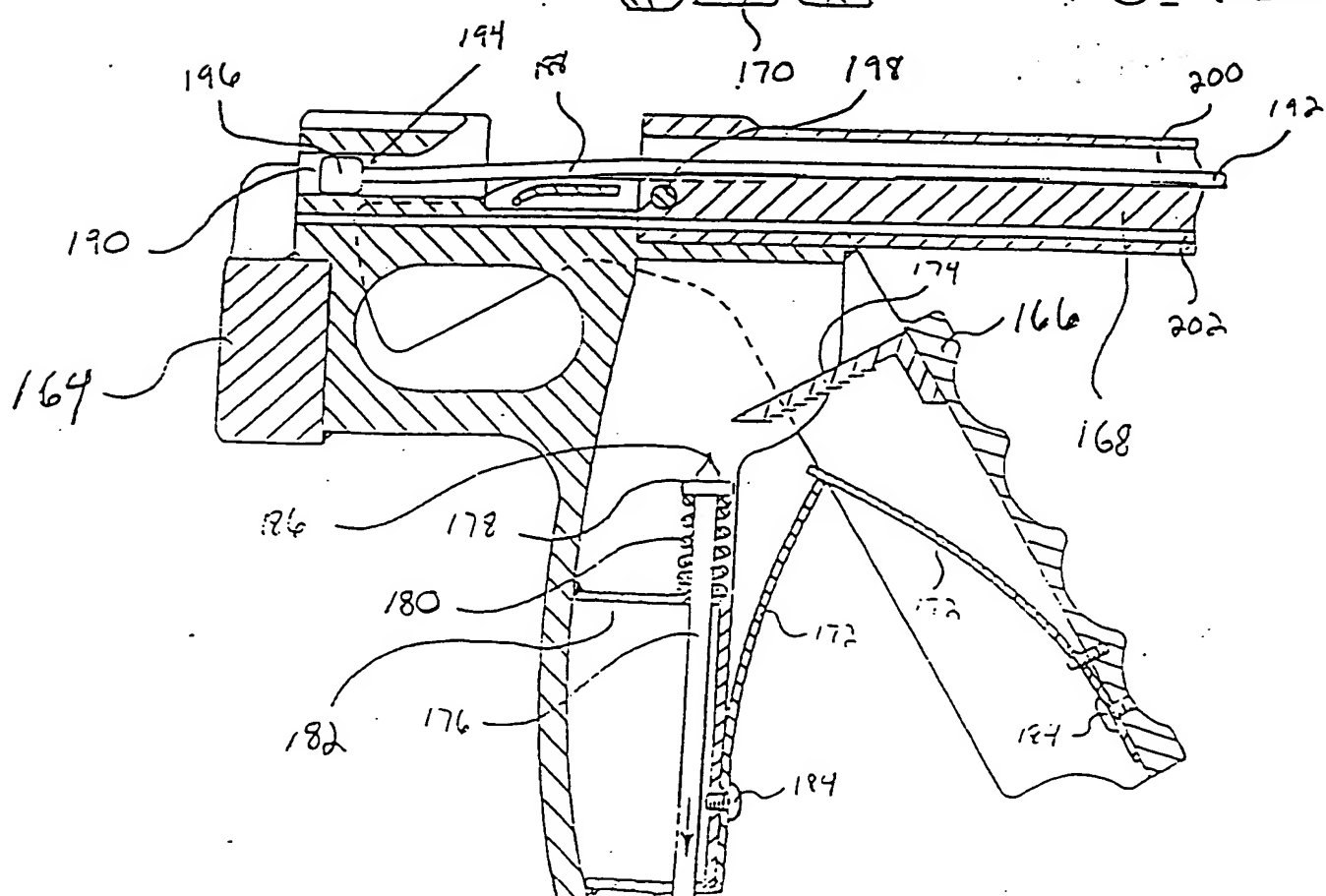
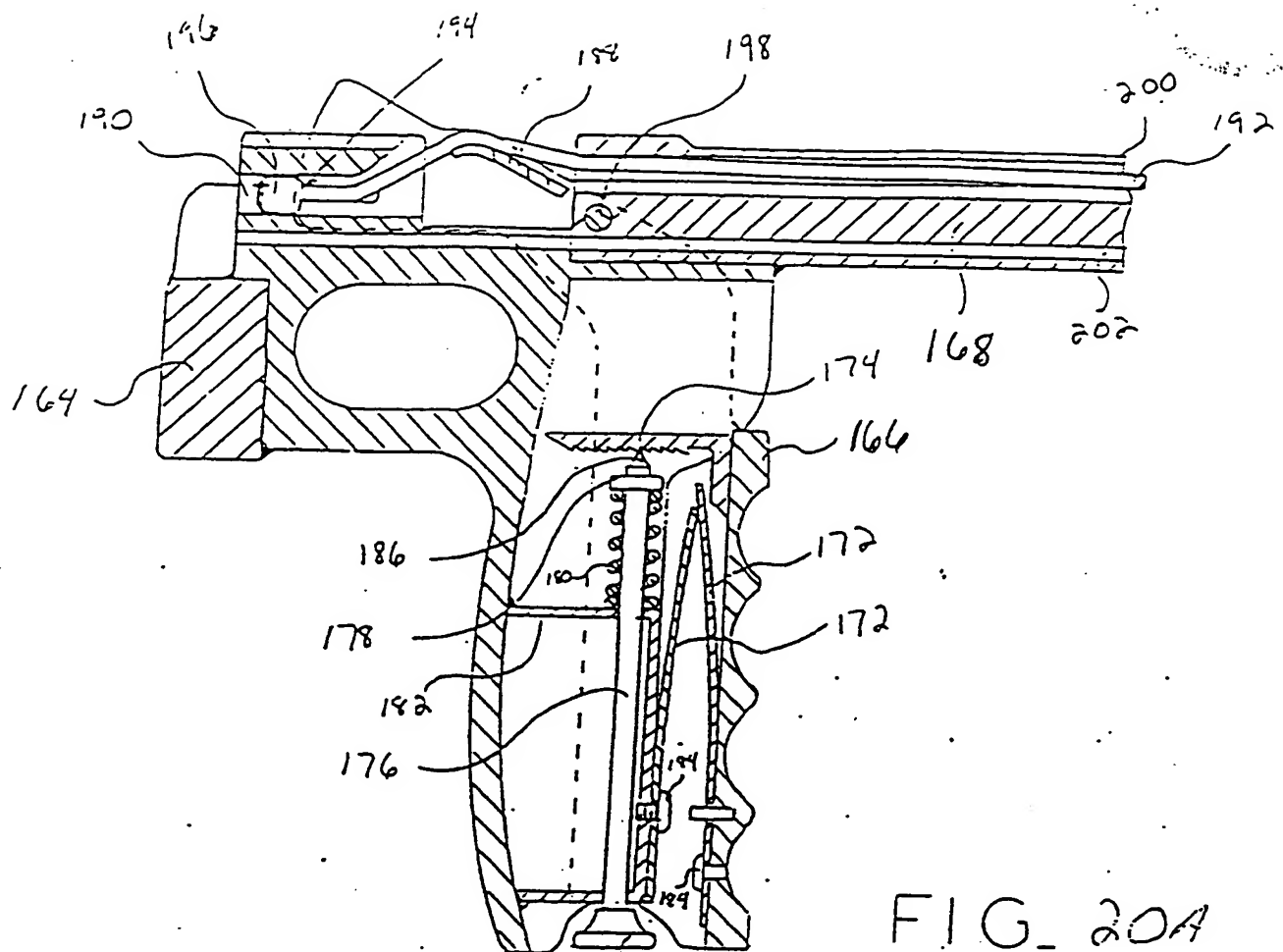


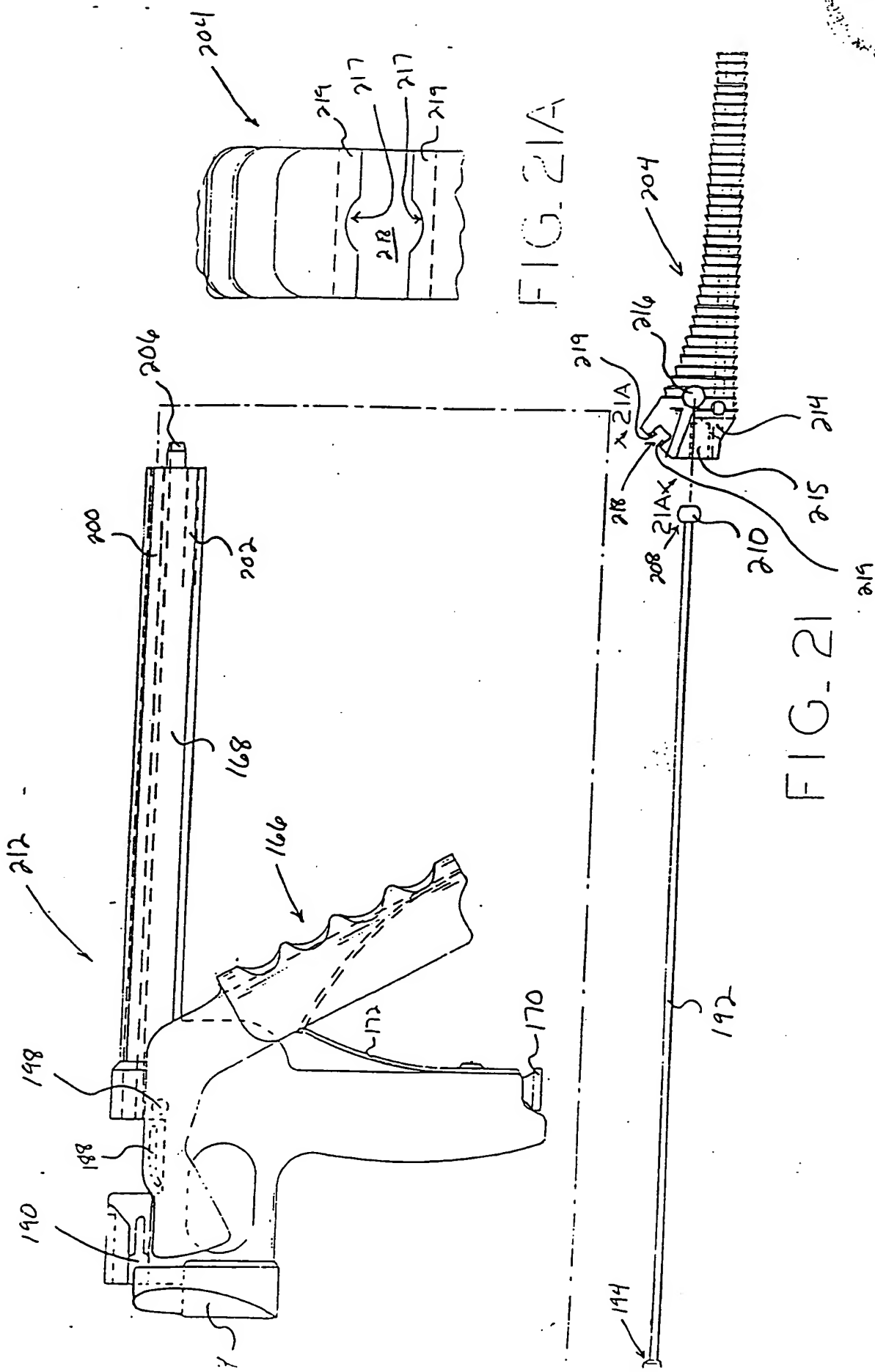


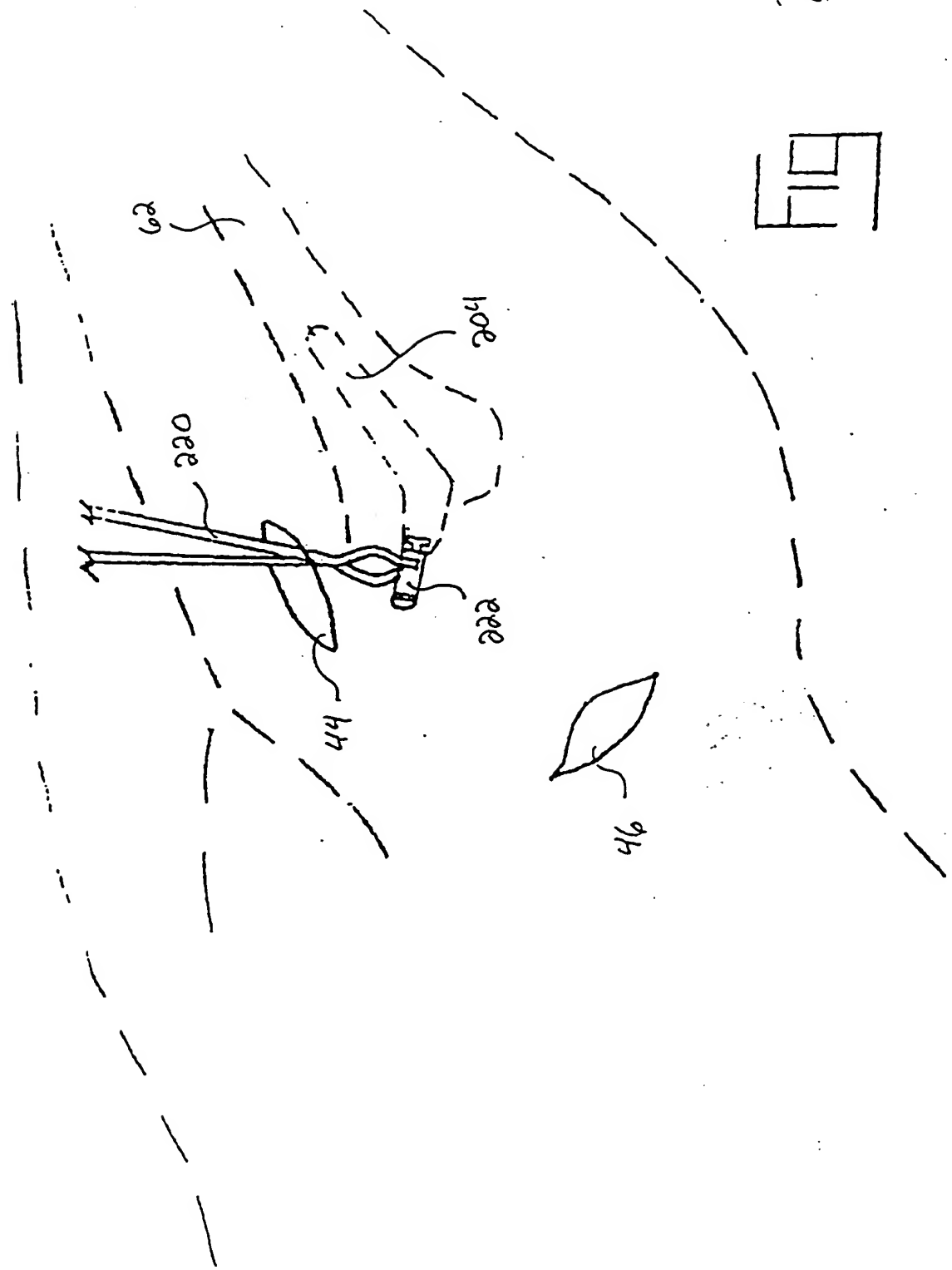






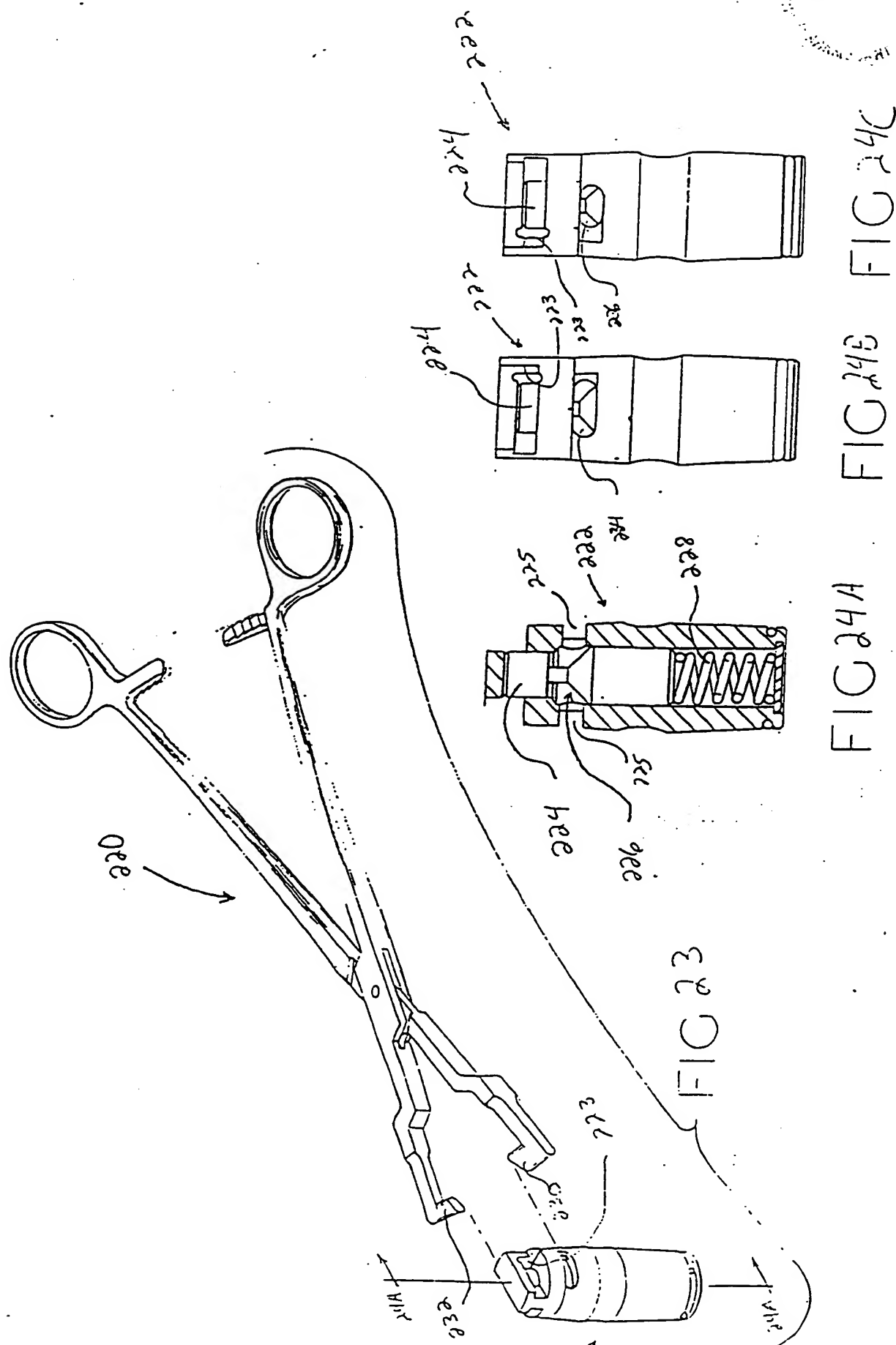




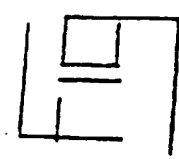


24

002 1 5 1972



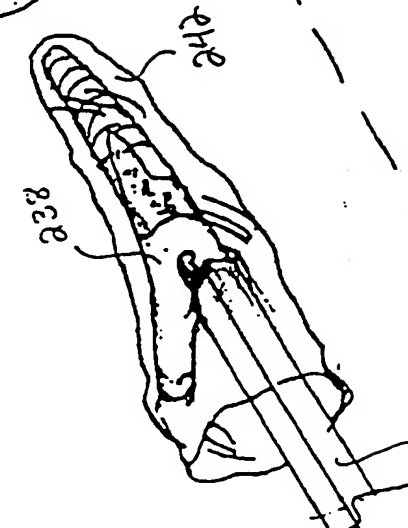
25



85

the

44



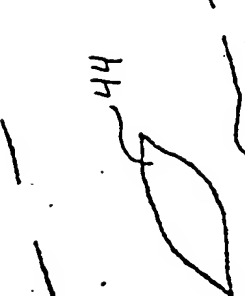
838

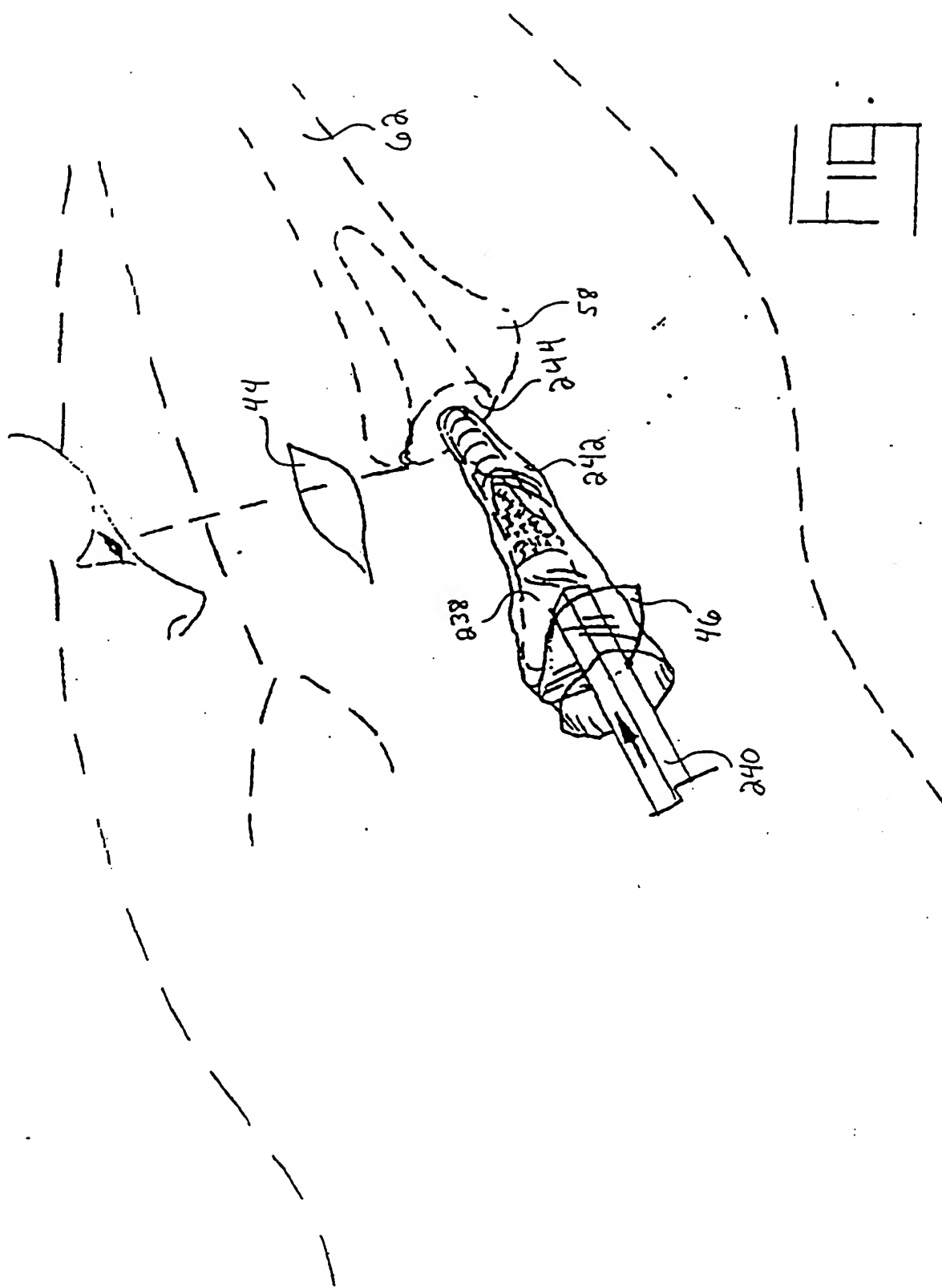
the

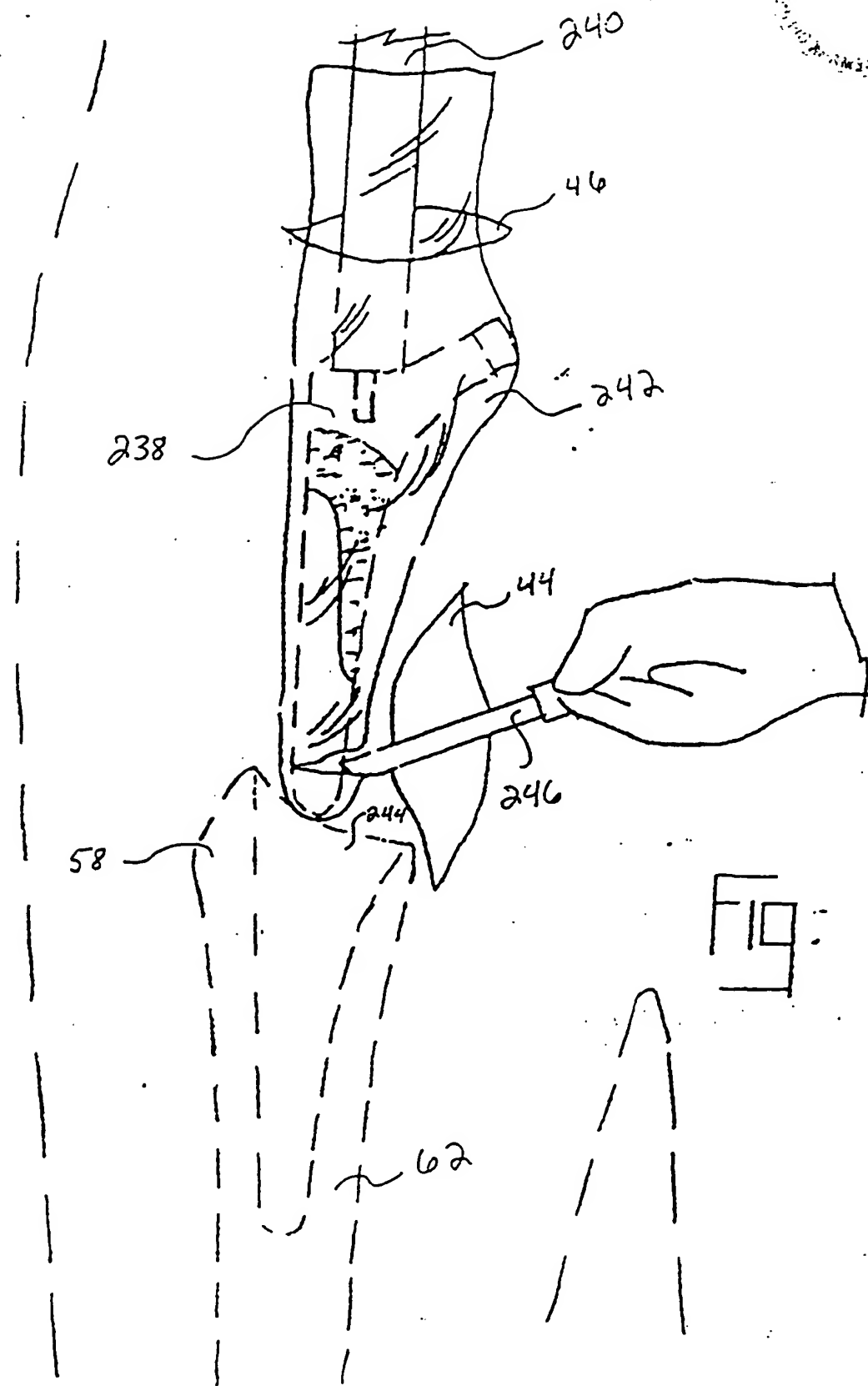
one

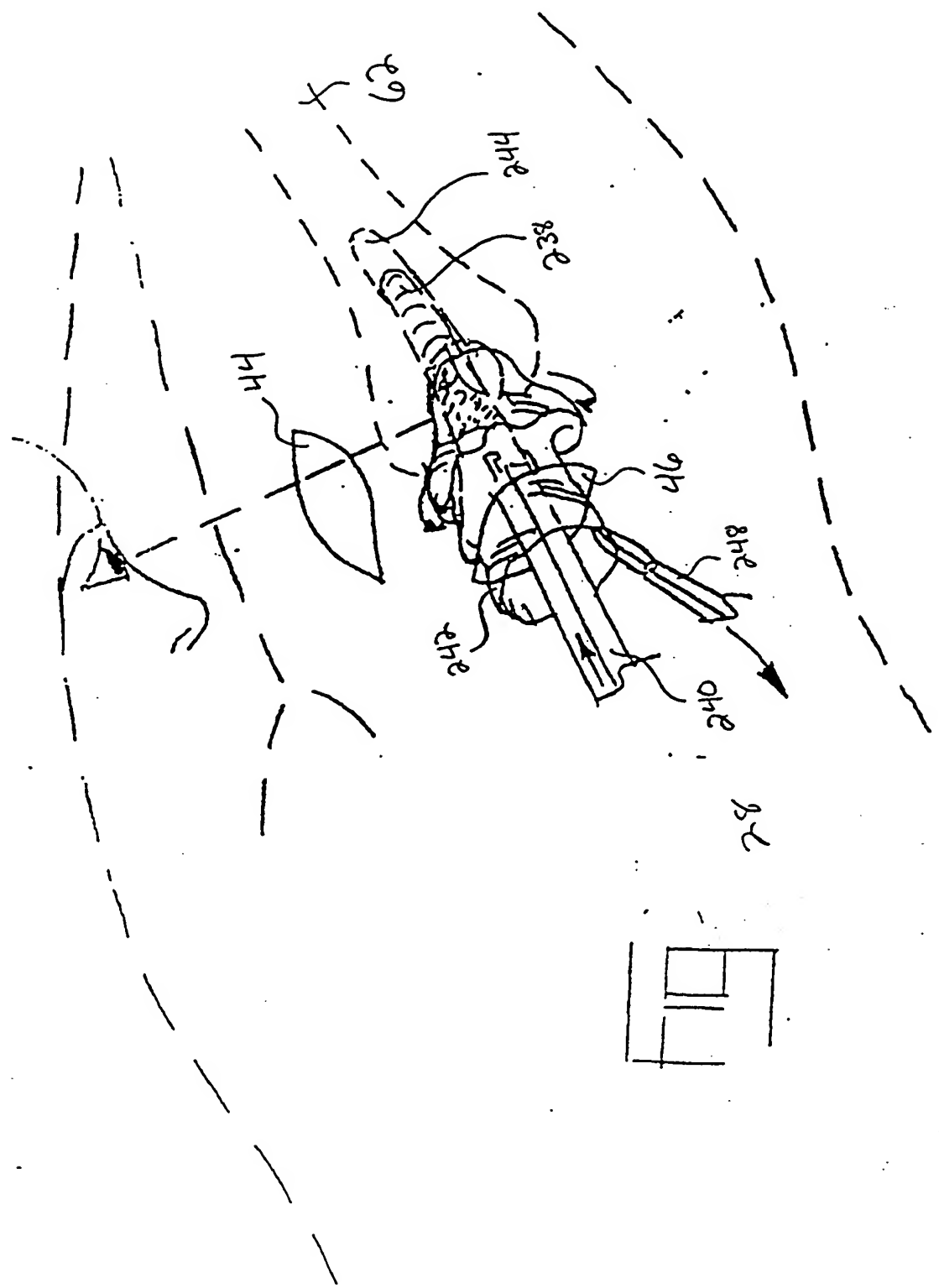
69

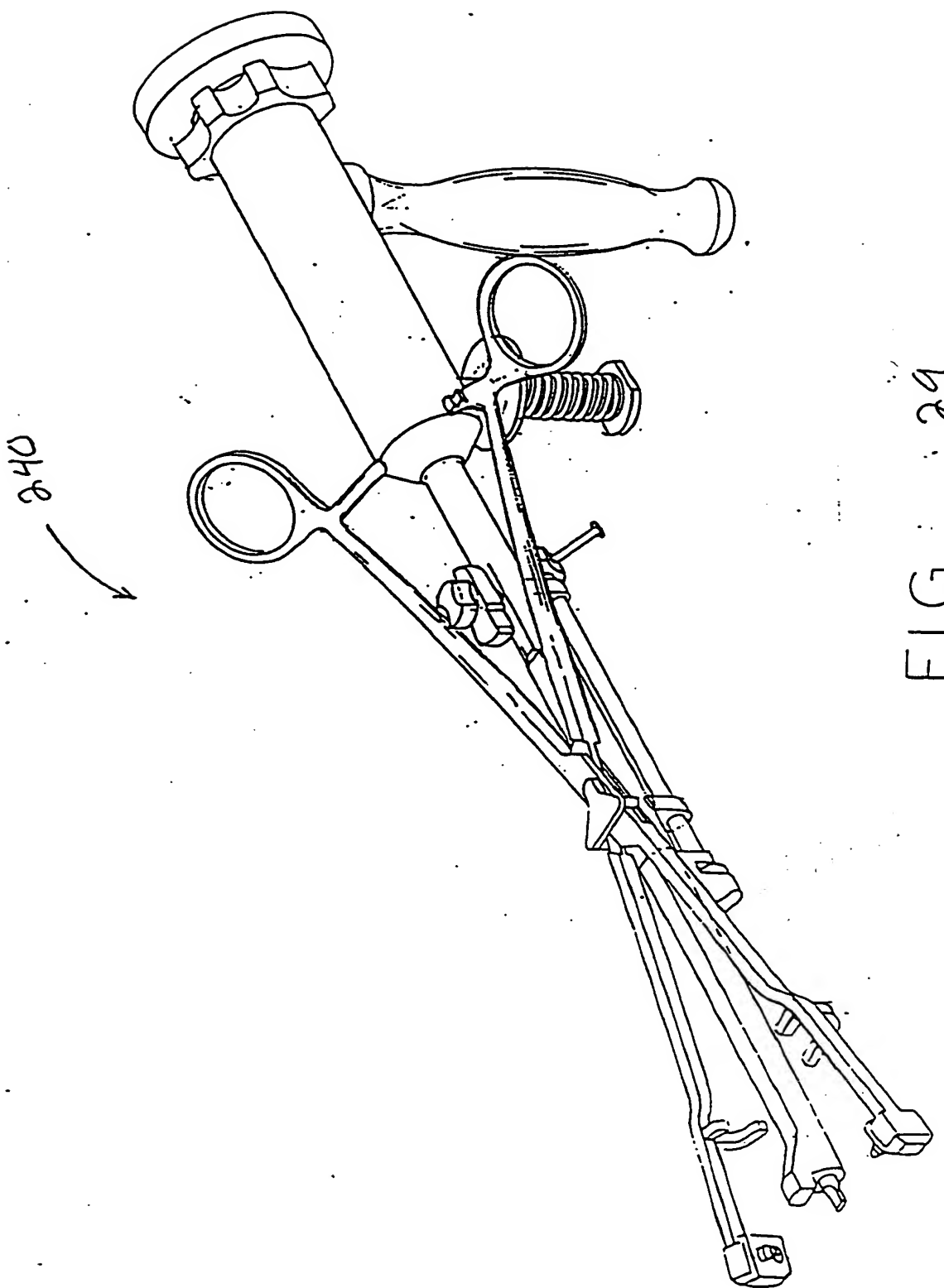
44











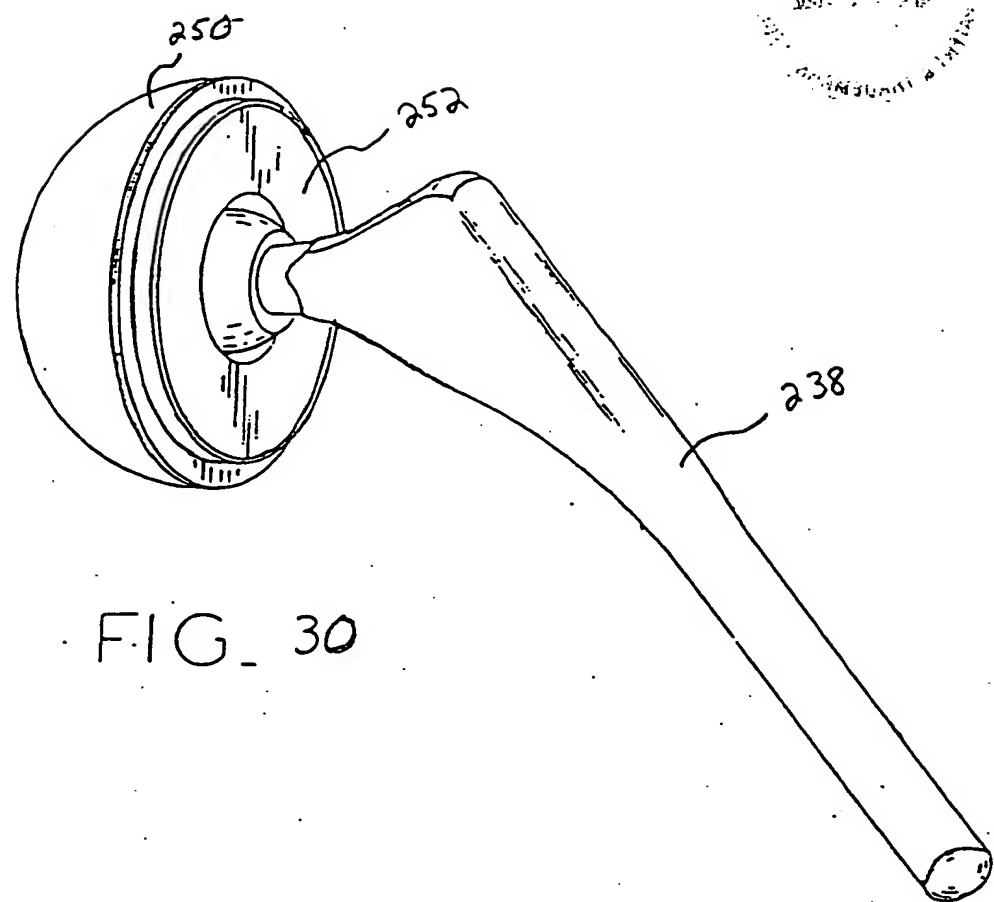


FIG. 30